

143357



电火花装置

列文生、符拉基米洛夫著



机械工业出版社



电 火 花 装 置

列文生、符拉基米洛夫著

黄 竟 成 譯



机械工业出版社

1958

出版者的話

本書敘述了電火花裝置的結構和製造方面的問題，介紹了選用電氣系統和加工用量的必要知識並詳述了電火花裝置的工藝特性。本書專為工業企業的工作人員寫成。本書也可供科學研究院及設計院的工作人員，以及高等學校的學生參考。

苏联 Е. М. Левинсон, Е. И. Владимицов 著 ‘Электро-
искровые установки’ (Машгиз 1951 年第一版)

* * *

NO. 1629

1958年2月第一版 1958年2月第一版第一次印刷

850×1168 1/32 字數 180 千字 印張 6 9/16 0,001—1,650 冊

机械工业出版社(北京东交民巷 27 号)出版

机械工业出版社印刷厂印刷 新华书店發行

北京市書刊出版業營業許可証出字第 008 号 定價(10) 1.20 元

目 次

原序	4
第一章 金屬電火花加工的基本概念	5
1 金屬電火花加工法的發現	5
2 電火花裝置的工作	6
3 電火花加工工藝概述	22
第二章 電火花裝置的結構原理	38
4 電火花裝置的結構特点	38
5 電火花裝置的電氣設備	42
6 電火花裝置的機械設備	56
第三章 電火花裝置的調節器	66
7 概論	66
8 調節器結構的發展	68
9 浮力調節器的結構	76
10 剛性進給調節器的結構	87
11 調節器機械裝置的基本元件	99
第四章 制孔和穿槽的電火花裝置	108
12 制小孔的電火花裝置	108
13 制大孔和槽的電火花裝置	138
第五章 完成其他種類加工的電火花裝置	154
14 金屬切割電火花裝置	154
15 JTA-24型外圓磨削電火花裝置	159
16 錐孔用電火花裝置	163
17 強化金屬表面層的電火花裝置	171
第六章 電火花裝置的電源	182
18 半導體整流器	183
19 機械整流器	185
附錄 I	195
附錄 II	204

原序

苏联的学者發現了金屬的电火花加工法，从而在祖国的技术發展史上写下了新的一頁。

有鑑于这一發現的重要性，苏联政府授予电火花加工的發明者 B. P. 拉扎連柯和 H. И. 拉扎連柯以斯大林獎金获得者的崇高称号。

金屬的电火花加工在工業中获得了广泛的应用。

但是，介紹电火花裝置結構設計的技术文献很缺乏，工業工作人員难以找到足够的参考資料，这就延緩了推广这种新的金屬加工方法的速度。

电火花加工技术已發展到現代化的水平，对于电火花裝置的需求正在不斷增長。由各个企業自己來單獨地制造电火花裝置显然已無法滿足这种需求。組織电火花裝置成批生产的必要性已經非常明显了。

在本書中反映了作者在列寧格勒基洛夫林業技术科学院和列寧格勒古比雪夫气化器工厂中工作时所累积起来的經驗。

在本書中，作者着重介绍了在設計和制造电火花裝置时以及掌握电火花加工工艺时最常遇到的問題。本書还叙述了作为电火花裝置的設計和工艺基础的一些研究。

对于本書的意見和希望請徑寄列寧格勒涅夫斯基大街58号國立机器制造書籍出版社列寧格勒分社。

第一章 金屬電火花加工的基本概念

1 金屬電火花加工法的發現

金屬由於放電作用而被破壞的現象叫做電蝕，為了消除電蝕現象而做的努力促進了電工技術的發展。

全蘇電工研究院的蘇聯學者們在三十年代末期所進行的工作使得人們對於電流轉換裝置被破壞的原因有了明確的認識。

由於研究了電流在空氣和各種液體中的轉換過程，人們發現了金屬分散並由陽極向陰極遷移的現象。B. P. 與 N. I. 拉扎連柯確定了在氣體中一個電極的材料向另一個電極遷移的規律：在陽極上形成凹穴，在陰極上則產生突瘤。

陰陽二電極間發生火花放電時即產生上述現象。曾經發現：如果把上面提到的兩個電極浸入液體中，陽極金屬沉積到陰極上的現象即行停止，而金屬由陽極分散的現象則加劇了。同時，分散了的呈圓球形小顆粒的金屬微粒一直懸浮在液體中。用各種金屬及合金進行了多次試驗，都得出了如上所述的結果。

上述的試驗使研究者不由地想到，電蝕現象可用来取得金屬的粉末，甚至取得那些很難用機械方法磨碎的合金粉末。進一步研究了電流轉換過程之後，學者們確定：處於液體介質中的兩電極間發生火花放電時，在陽極上形成和陰極的外形相同的凹穴；同時，經過長時期的轉換作用，陽極上的凹穴即成為貫通的孔。

試驗結果清楚地表明了利用電蝕現象進行金屬尺寸加工的可能性。

更深一步的研究工作主要是沿着這一方向深入下去的。經過很短的一段時間，學者們就確定出新型的金屬電火花加工法的基本規律和工藝可能性。

自 1943 年开始, 由于利用电火花腐蚀法来进行金属的尺寸加工, 就开辟了一个新的工艺领域。任何种导电体, 不论其硬度和韧度多高, 虽然它们难以进行切削加工, 但是都可以很方便地用电火花法进行加工。用电火花来加工金属的新方法发现后, 就出现了各种本质上不同于金属切削机床的电火花装置。

2 电火花装置的工作

引起金属腐蚀的放电现象, 其形式是各不相同的。金属腐蚀的性质取决于放电的形式。金属电火花加工时, 通常只利用两种形式的放电, 即火花放电和电弧放电。进行金属的尺寸加工时, 只能采用火花放电。伴随火花放电而产生的现象对电火花装置的工作没有影响, 因而不在此书中加以讨论。

两种形式的放电都可由电火花装置(图 1)获得, 电火花装置由下列几部分组成: 可以调整电压的电源 Γ , 调节电流强度的变阻器 R , 电容器 C , 产生放电的电极 ϑ_1 、 ϑ_2 , 以及测量电流强度和电压的电表。电火花装置的电气系统通常分为两个回路: 供电回路(用细线表示)与放电回路(用粗线表示)。电火花装置的电源电压在 2~300 伏特之间。

图 1 中表示产生脉冲电流的电气系统, 其作用过程如下。脉冲电流发生器的两端钮有电压时, 电流即使电容器充电, 同时使电容器的两片极板间的电压升高至

额定值(升高至发生器的电压)。电容器充电至额定电压所需的时间视电容器的电容量及线路的电阻而定。现在假设电极 ϑ_1 与 ϑ_2 之间的距离很小。电极 ϑ_1 和 ϑ_2 与电容器极板并联。所以, 电极 ϑ_1 与 ϑ_2 上的电压和电容器的电压是同时升高至额定值的。由于在电极间产生的现象^①, 在电压升高至一定数值时, 介质的介电强度即被破坏。因而, 积储在电容器上的电能即以放电的形式放出。

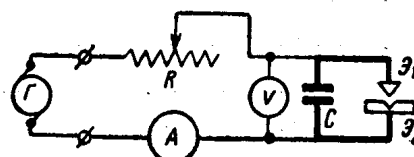


图 1 电火花装置的原理图。

^① B.P. 与 Н.И. 拉扎连柯: [金属电火花加工物理学](ЦВТИ МЭИ, 1946)。

电能沿着在介質中發生的导电通道短时间通过的現象叫做火花放电。如果充电电路的电阻相当大，则兩電極上的电压起初是下降，然后开始上升，經一定時間后重新升高至足以产生使介質被击穿的数值，因而产生第二次的火花放电。为了保証电火花裝置放电作用周期性地繼續下去（圖 2），必須使介質的介电强度在电容器充电的時間內及时地恢复起来。此外，电阻、电容、电源电压与電極間的距离應該保持不变。

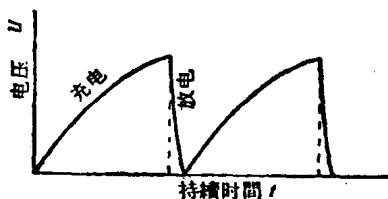


圖 2 电火花裝置工作时相对兩電極上电压的变化曲綫。

充电时积储在电容器上的电能于放电时在極短的时间中放出。电容器放电电路的电阻越小，电流强度的振幅值也就越大，放电的延续時間也就越短。

产生火花放电处，一定量的金屬遭到破坏而分散。强度相当大的短時間放电引起了类似爆炸效应的現象。由此，在金屬上形成凹穴，其体积随放电强度的大小而变。火花放电时，部分电能轉变为热能。电火花通道的溫度高达 $10000\sim 12000^{\circ}\text{C}$ 。

电火花通道周围产生的磁场使得火花通道的剖面受到很大的压縮，因而火花通道中的电流强度可达数万安培。現在采用的电火花裝置中，电流强度的振幅值达数百以至数千安培。

火花放电区域的灼热气体具有巨大的压力，这压力以很大的速度傳向四方，因而引起剧烈的音响效应，發出很响的劈拍声。由于火花放电的時間極短，所以其光效應虽然很亮但不易被覺察。

火花放电产生的高溫对金屬的作用時間很短，而火花放电对金屬的作用又很集中，所以電極間隙中产生的热能大部分都用来使若干数量的金屬熔化并气化，而周围灼热气体的高压則促使遭受放电破坏处的灼热金屬迅速地甩出。

如果增高供电电路中的电流强度或减小电容，则放电的頻率即增大。放电的頻率增大到一定的限度，火花放电即轉变为电弧放电。这是

● 卡普卓夫(Н. А. Капцов):「气体与真空中的电現象」(Гостехиздат, 1947)。

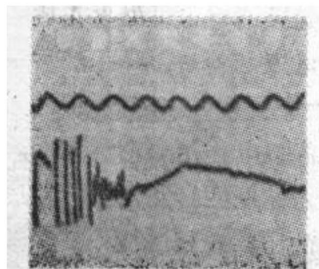


圖 3 火花放电轉变为电弧放电(下面的曲線)的示波圖。

因为，放电頻率太高时，相鄰兩次脉冲放电距离的时间太短，电極間介質的介电强度来不及恢复。圖 3 中的示波圖(圖 3)表示出火花放电轉变为电弧放电后电極上电压的改变情况。示波圖中，上面的一条曲綫表示出頻率为 450 赫芝的單位時間尺度。

电弧放电的特征是長時間的發光以及在相当大的区域內的金屬被熔化。电火花加工时，如果产生長時間的电弧放电，工件即被损坏。只要正确选用电参数以及适当的电气設備，即可消除在工作时产生長時間电弧放电的危險。

每一次火花放电时，电極上的一部分金屬(主要是陽極金屬)要分散，因而电極間的距离变大，放电即随之停止(如果不設法使兩個电極移近的話)。使电極間隙保持不变，是保証火花放电連續下去的重要条件之一。

用电火花来加工金屬主要是在粘度小的不导电的液体介質中进行的。应用最广的液体介質是煤油和矿物油。已經証明，在液体介質中产生火花放电时，由于放电而分散出来的金屬数量大为增多。此外，因为电極間充滿了不导电的液体介質，就有可能在电容不变的情况下采用較大的电流，而沒有發生电弧放电的危險。

在液体介質中，电極間隙可以比在空气中大許多倍(圖 4)。在电火花加工通用的电压范围内，采用液体介質可以改善調节电極間隙的条件。

火花放电引起若干数量金屬的分散，分散了的熔融状态

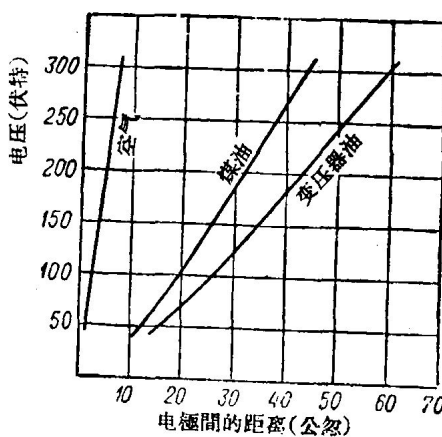


圖 4 电極間隙隨电極电压而变的曲綫圖。

(部分是气态的)的金屬微粒以極大的速度自電極間甩出。液体介質阻止这些金屬微粒的运动，并使它們破碎和冷却。冷却了的金屬微粒的尺寸極小，呈圓球形。由于具有分散性，金屬微粒一直悬浮在液体介質中，漸漸使液体渾濁。較大的金屬微粒則慢慢地沉淀下去。

对圓球形金屬微粒进行显微分析的結果表明，在放大 100 倍时，除去个别的圓球以外，其余的微粒均为不定形的小塊。如果繼續放大（放大 500~1000 倍），即可看出这些不定形的小塊原来是由許多更小的球形微粒粘合而成的。

如果液体介質非常渾濁，就会在電極間構成一个电火花可以通过的电桥。液体介質中存在着一定濃度的金屬微粒和液体介質本身的分解产物是許可的，但是如果液体混濁程度繼續增加，则电火花裝置的生产率即下降。此时，必須更換液体，或將其過濾。

液体介質中火花放电的进行取决于電極运动的性質。現在，我們來研究圖 1 中的电气原理圖。假定兩個電極是固定的、互相隔離的，我們看到，電極上的电压逐渐升高到某一限度时即發生火花放电。这时，如果沒有电容或电容太小，加之供电电源又具有相当大的功率，则火花放电即轉变为电弧放电。在其他条件相同时，如果电容相當大，可以維持周期性的火花放电，则只要電極間保持規定的距离，火花放电將不断地繼續下去。

如果兩個電極(或其中之一)是运动的，而且周期性地互相接触，则伴随火花放电产生的現象將根据電極运动的速度而發生变化。如果電極运动的速度大，兩個電極相接触的时间只有千分之几秒，这只会使电容器的充电过程稍緩。如果電極运动的速度小，产生的現象就不同了，这时，当電極移近到产生击穿的位置时，会产生周期性重复的、频率越来越大的火花放电，直至電極短路为止。

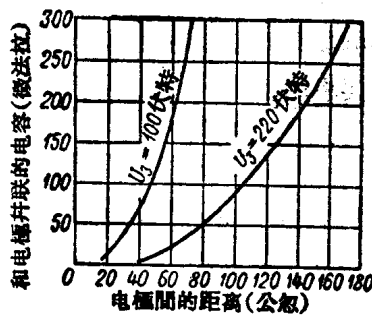


圖 5 電極間隙隨电火花裝置实际工作条件下加工規範劇烈程度而变的关系曲綫。

电極短路时，电路中通过直流电，此时电容器受不到充电作用。当短路的电極互相分开，兩個电極的接触点迅速减少，电流密度則迅速增大，这使得面积很小的一部分金屬被熔化。这时，电極接触处出現明亮的光点，繼續使兩個电極分开，电極間形成一个不大的間隙，間隙中产生电弧放电。繼續加大电極間隙，电極間的电弧即被拉伸至相当大的長度。在自动調節器有毛病，不能保証要求的調節精度时（这大多数是由于进給机构有縫隙，或者是液体流向被加工处的条件很坏的緣故），就会产生上述現象。

电極間隙的实际大小不仅取决于外施电压的大小 和介質 的組成，也取决于加工規范的强度，即取决于电容的大小。

圖 4 是电極間隙隨外施电压而变的关系曲綫圖，这曲綫适用于液体介質沒有被加工产物弄混濁的情况下。加工过程中，电極間充滿了液体电介質和分离出的金屬微粒的混合物。此外，还有液体介質的燃燒产物和气泡。随着加工規规范强度的提高，电極間隙間金屬微粒与燃燒产物的濃度和尺寸也增大了。

接入电路的电容器的电容增加，加工用量的强度即随之增加。所进行的研究工作表明：电容增加（若电流强度不变）后，在电火花裝置实际的工作条件下，即可加大电極間隙。从圖 5 中可以看出这一規律。

应当指出，在电火花裝置的实际工作条件下，电極上小圓穴的大小影响着电極間隙的大小。所以，在加工硬質合金时电極間隙比加工鋼料时要小些。

电火花裝置的工作强度和頻率

本書作者进行的研究工作表明，电火花加工时，金屬的触除量决定于短路电流 $I_{\text{短路}}$ 、电源电压 $U_{\text{额定}}$ 与电容器的充电程度 η 。

充电程度 η 是电火花裝置工作时电容器充电后的电压 $U_{\text{充電}}$ 与电源电压 $U_{\text{额定}}$ 的比值：

$$\eta = \frac{U_{\text{充電}}}{U_{\text{額定}}} \cdot 100\%.$$

电压 $U_{\text{充電}}$ 取决于电極間隙的大小，如果間隙減小，则在較低的电压

$U_{\text{额定}}$ 时就产生电极間的放电。

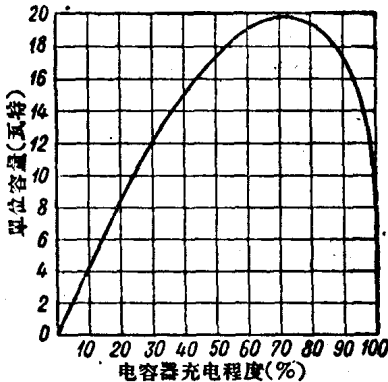


圖 6 放电迴路中的單位容量 P_{yA} 随电容器充电程度 η 而变化的关系曲綫圖。

$I_{\text{短路}} = 1$ 安培, $U_{\text{额定}} = 100$ 伏特时放电迴路中的容量 P 叫做單位容量 (P_{yA})。

圖 6 所示的曲綫表示出 P_{yA} 与 η 之間的关系。利用这一曲綫, 可以由下列方程式求出容量 P 的大小:

$$P = \frac{P_{yA} I_{\text{短路}} U_{\text{额定}}}{100} \text{ 瓦特。}$$

此外, 曲綫还表示出: 当 $\eta = 72\%$ 时电火花装置放电迴路中的容量最大。

充电-放电的頻率决定于充电迴路中的电阻与放电迴路中的电容量。

放电迴路的电容为 1 微法拉、充电迴路中的电阻为 100 欧姆时的頻率叫做單位頻率 (f_{yA})。圖 7 所示的 f_{yA} 与 η 的关系曲綫中, $U_{\text{额定}} = 100$ 伏特, $I_{\text{短路}} = 1$ 安培, $C = 1$ 微法拉。

把放电迴路的电路电阻 r (兩电極間的电阻)忽略不計, 就可用公式計算出当 $U_{\text{额定}}$ 与 $I_{\text{短路}}$ 等于不同数值时电火花装置的工作頻率, 計算所得的准确度对于电火花装置的实际操作是足够的。为此, 必須量出电

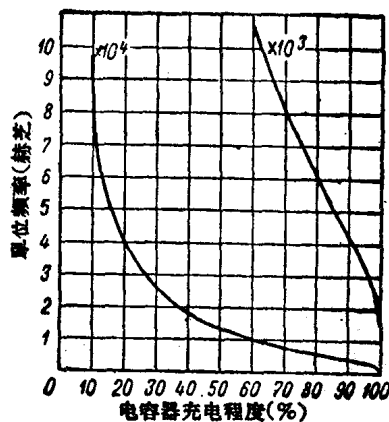


圖 7 單位頻率 f_{yA} 随电容器充电程度 η 而变化的关系曲綫圖。

火花裝置工作时的電極电压 $U_{\text{电极}}$, 确定电容器的充电程度 η , 并根据圖7中的曲綫求出 $f_{y\eta}$ 之值。

电火花裝置的工作頻率可由下式算出:

$$f = \frac{f_{y\eta} I_{\text{短路}} U_{\text{额定}}}{C \cdot 100}.$$

电容器充电程度 $\eta = 72\%$ 时的頻率称为 [理想頻率] —— $f_{\text{理想}}$ 。

電極間隙值的測量

作者認為, 既然目前有关電極間隙問題的資料甚为缺乏, 就完全有必要在本書中研究一下電極間隙的測量方法、測量的过程以及必要設備的制造等等問題。在設計維持火花放电頻率恒定不变的裝置(即電極間隙調節裝置)时, 有关電極間隙值的参考資料是必不可少的。

電極間隙值的測量是在空气、煤油及变压器油中进行的。火花放电产生在黃銅陰極与鋼制陽極之間。相对兩電極的半球形端面抛光至鏡面光潔度。電極的直徑各为 1.5 公厘, 总長 40 公厘。用千分螺絲可使電極互相接近。電極位移的数值可按單位刻度为 1 公忽的刻度盤上的讀数确定。

圖 8 表示出测量電極間隙的仪器。垂直滑杆上裝有金屬卡板 1, 卡板可由在球形螺帽 9 与 11 中旋轉的螺杆 10 收紧。手柄 4 带动千分螺絲轉動。被碗形彈簧 3 压紧的分度盤 2 裝在千分螺絲的一端。電極架 6 与 8 及電極 5 与 7 垂直地安装在卡板 1 上(在与卡板絕緣的螺絲 10 的平面內)。螺絲 10 具有兩段同方向的螺紋, 其节距各为 0.5 公厘与 0.6 公厘。螺絲旋轉一周, 螺帽 9 与 11 即相对移动 0.1 公厘。兩電極端面間的距离也变动 0.1 公厘。分度盤 2 分为 100 等分, 因而分度盤的每一刻度值为 0.001 公厘。

被拉紧的卡板 1 可以保証螺帽与螺紋間沒有間隙, 从而保証了讀数的正确性。

仪表的电路由指示电路与供电电路組成。指示电 路用来 测定电極在何时互相接触。指示电路由 1.25 伏特的直流电源 19、电位表 18 及灵敏度極高的电流表 21 与其附加电阻 20 組成。

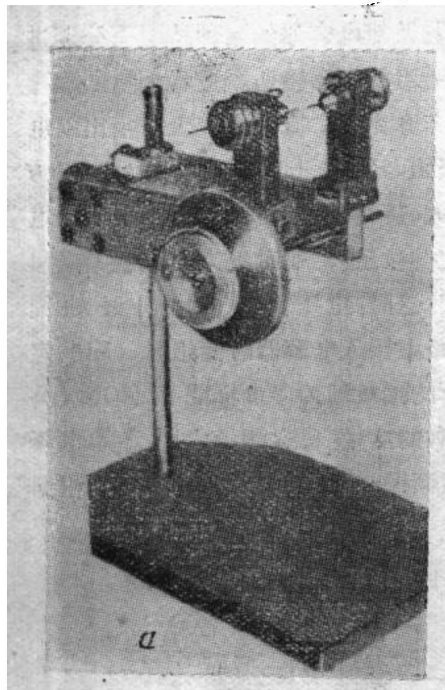
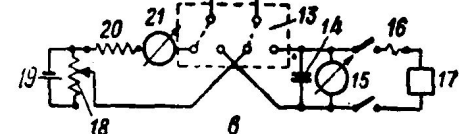
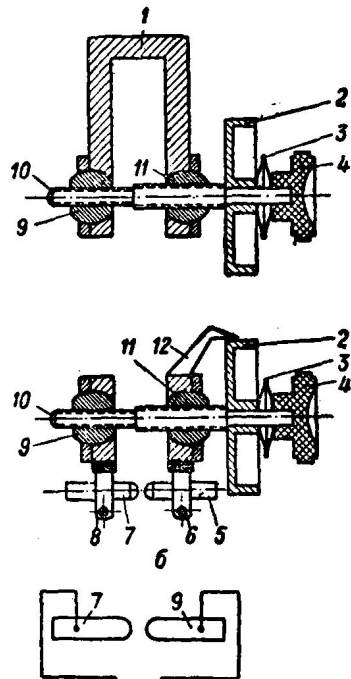


圖 8 在各種介質中測量電極間隙的儀器：
a—外形圖；b—剖面圖；c—

電路圖。



电流表是磁电式仪表，它在电流为 3 微安时偏转至最大值。测量仪表的电阻为 1000 欧姆。由此，仪表全偏转时，电极 7 与 9 的电压 $U = I \cdot R = 3 \times 10^{-6} \times 1000 = 3$ 毫伏。附加电阻 20 用来限制测量仪表指针的偏转不超过刻度值的三分之一，因而测示电路中的电流强度在电压为 1 毫伏时只有 1 微安。电流和电压既然这样小，就可以保证电极间隙值的测定不产生误差。

测量电极间隙的大小时，使电极与附有直流电源 17 的供电电路接通，电源电压可在 0~300 伏特的范围内平稳地调节至任一数值。电压的大小按电压表 15 确定。电容各为 0.1; 0.5; 1.0; 2.0; 5.0 微法拉的电容器 14 与电极并联。

电極間隙值的測量在接入電容器及無電容器的兩種情況下分別進行。雙極轉換開關 13 用來使電極和適當的電路接通。進行測量的順序如下。接通測示電路，仔細使電極 7 與 9 靠近，直至電流表 21 指出兩電極已經相觸時為止。分度盤 2 的零線須與定位針 12 重合。以反時針方向旋轉手柄 4，電極間的距離即加大。旋轉轉換開關 13，可接通供電電路，並使電路端鈕的電壓調整至規定的數值。沿順時針方向調整螺帽 4 使兩個電極相互靠近，直至產生擊穿，這時，電壓表 15 的指針開始偏轉，並產生火花放電的劈拍聲（在電路中接入電容器時）。這時，應將定位針指出的分度盤的讀數記下。記下的讀數即為兩電極間的距離（公忽）。利用上述的測量儀器進行了多次的測量。每次測量之後，不論電極上有無放電作用的痕迹，均將電極重新拋光。圖 4 中所示的曲線是根據

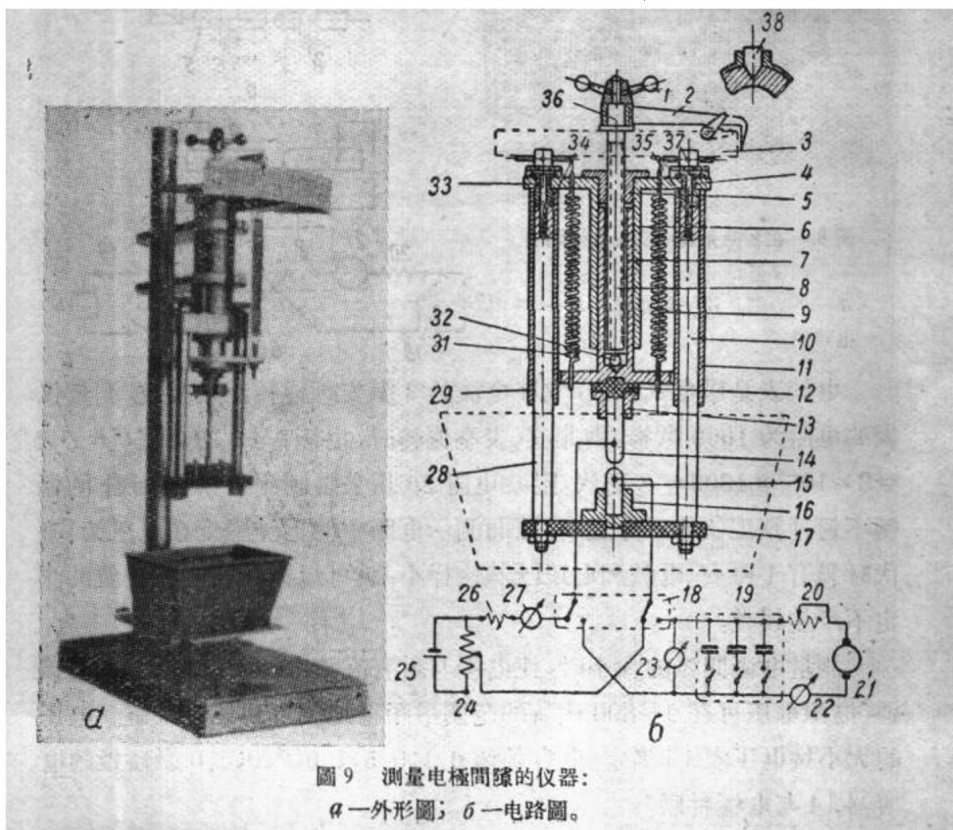


圖 9 測量電極間隙的儀器：
a—外形圖；b—電路圖。

上述仪器的測量結果而繪出的。

在电火花裝置的实际工作条件下是用圖 9 中的仪器来測量电極間隙的。这一仪器可以使电極相互移近到产生火花放电的距离，同时，电極的移动可以調節，測量的精度可达 1 公忽。

仪器由进給機構与兩個电路組成。仪器的兩個电路和圖8中的仪器相同。进給機構由导軌6，沿导軌滑动的滑筒7組成，滑筒7由螺杆8帶动。螺帽5紧固在导軌6中，螺杆8即在螺帽5中旋轉，产生直線运动，螺杆的压力由螺杆与滑筒之間的支承滾珠32傳至滑筒上。螺帽与螺杆的間隙用强力彈簧9与31进行調整。棱形鍵38用来消除滑筒的徑向間隙。电極架13与电極14固定在滑筒的下部，电極架裝在夾布膠木軸襯12中而与滑筒絕緣。另一电極架16及电極15裝在电極台17上。电極台裝在兩根圓柱导軌10与28的下部，圓柱导軌可在圓筒導槽11与29中上下移动。使圓柱导軌10与28的端部和銅軸襯34与35的磨光的端面相触，同时轉動收紧螺絲4与33，使导軌的端面緊靠在軸襯的端面上，这样，电極台即被准确地固定在上部位置。

測量时的順序如下。先裝好电極14与15，使电極与电路接通，把供电电路的电压調整至必要的数值，再接入适当的电容。使电極短路，利用电阻20把电流調整到需要的大小。进行測量时，应將电極浸入裝有液体电介質的升降槽中。把短路电流調整到需要的大小之后，把电路切断，轉动手柄1使电極分开。再使电極靠近时，电極間即产生强烈的火花放电，放电可繼續2~3分鐘。在調整过程中，受止动器37限制的定位針2指向分度盤上的零線。电極間产生强烈的火花放电时，断开供给电路，同时停止电極14的进給。

測量的第二阶段是量出电極間的距离。为了清除电極間隙內分离出的金屬微粒，應該先把液体槽放下，再放松螺絲4与33，降下电極台，用汽油噴洗器仔細洗尽电極的端面。之后，把电極台17升至原来的位置，再用轉換开关18接通測示电路。放下止动爪37使定位針2松开，再使电極14与15靠近，直至相触。相触时电流表27开始偏轉。止动爪37放下之后，定位針2由于摩擦連接器36的作用而和螺杆8同时轉

动。調整进給量时，摩擦連接器 36 不起作用，故定位針 2 的軸套自由地在螺杆 8 的軸頸上滑动。

定位針的尖端移过了等于电極間隙的一段距离之后，兩电極即互相接触。

測量电極間隙的数值时，所用的陰極由 ЛС-59黃銅制成，陽極則用硬度 $HRC = 60 \sim 62$ 的 Y8-A 热处理鋼制成。圖 5 中的曲綫即根据測量出的結果繪出。

电火花加工的加工規范

对于任何一种工艺过程，在生产率、加工精度与被加工面的質量方面都提出一定的要求。为了获得預定的結果，必須控制加工過程的进行。

电火花加工时，利用調整电参数，即調整电压、电流与电容的方法来控制金屬的触除过程。

以电参数作为特征的电火花加工規范，不論加工种类如何，一般可分为强規范、中規范和弱規范三种。

强規范的特点是触除大量的金屬。加工时，电流与电容都很大。加工后的表面粗糙，其光潔度相当于 ГОСТ 2789-45 的 4 級以下。

中規范触除下較少的金屬。加工过程中，电流与电容值不大不小。被加工面的光潔度相当于 5 級与 6 級。

弱規范的特点是触除下的金屬很少，电流与电容也很小，加工鋼件时能得到光潔度为 6 級与 7 級的表面。利用这种加工規范来加工硬質合金时，表面光潔度更可以提高。

分离出一定量金屬所耗費的电能取决于該种金屬的物理化学性能、工作介質以及加工种类。例如，磨削和刃磨的生产率就比制孔和穿槽的生产率要高。这是因为，进行磨削和刃磨时，具有較好的条件来取得一定形狀的火花放电，并清除电極間隙內被分离出的金屬微粒。

为了获得預定的工艺效果，必須正确选用电参数，以保証最高的生产率，保証所需的表面光潔度，并保証电火花裝置产生火花放电。